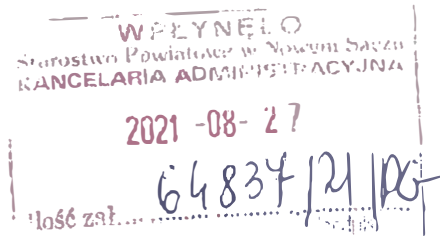


Prowadzący instalację:

Towerlink Poland sp. z o.o.
Ul. Konstruktorska 4,
02-673 Warszawa



**Starostwo Powiatowe w Nowym Sączu
Wydział Ochrony Środowiska
ul. Jagiellońska 8, 33-300 Nowy Sącz**

Dotyczy: ustawowego obowiązku, wynikającego z art. 152 ust.1 i ust.7 w związku z ust. 6 pkt 1c ustawy z dnia 27 kwietnia 2001 r. – Prawo Ochrony Środowiska (Dz. U. 2020 poz. 1219 z późn. zm.)

Działając z upoważnienia Towerlink Poland sp. z o.o. (z *dnem 12 lipca nazwa spółki Polkomtel Infrastruktura sp. z o. o. została zmieniona na Towerlink Poland sp. z o .o., co zostało uwidocznione w załączonym odpisie KRS w Dziale 1, Rubryce 1, wpis nr 35*) z siedzibą w Warszawie, ul. Konstruktorska 4, informuję o aktualizacji danych w zakresie i wielkości emisji dla instalacji radiokomunikacyjnej **BT_24492 JAWORZYNA** zlokalizowanej w miejscowości Muszyna, Góra Jaworzyna Krynicka.

Dokonane zmiany w zakresie wielkości i rodzaju emisji przedmiotowej instalacji nie powodują zmian instalacji w sposób istotny zgodnie z art. 3 pkt 7 POŚ.

Aktualizowane dane dla w/w instalacji są następujące:

9. Wielkość i rodzaj emisji:

Emisja pola elektromagnetycznego – równoważne moce promieniowane izotropowo [EIRP] poszczególnych anten:

Anteny sektorowe:

1. 2850 W
2. 1869 W
3. 3932 W
4. 2908 W
5. 2908 W
6. 2908 W

Anteny radioliniowe:

1. 1995 W
2. 1047 W
3. 708 W
4. 2512 W
5. 407 W

12. Szczegółowe dane odpowiednio do rodzaju instalacji zgodnie z wymaganiami określonymi w załączniku nr 2 do Rozporządzenia:

Charakterystyka promieniowania					Kierunkowa			
Rzeczywisty czas pracy [h/dobę]					Całodobowa 24h			
Warunki pracy					Znamionowe			
Rodzaj wytwarzanego pola					Stacjonarne			
Lp.	Częstotliwość [MHz]	Typ anteny	Liczba anten	Azymut [°]	Wysokość środka elektr. anteny [m n.p.t.]	Dopuszczalny zakres pochylenia anten [°]	Maksymalna moc nadawania EIRP [W]	Współrzędne geograficzne
1	900	742264	1	100	21,5	0 – 11	2850	20°53'43.00"E 49°25'03.00"N
2	1800	ADU4517R3	1	210	21,7	0 - 10	1869	20°53'43.00"E 49°25'03.00"N
3	1800	ADU4517R3	1	340	31	0 - 10	1784	20°53'43.00"E 49°25'03.00"N
	0 - 14					2148		
4	1800	A264518R0V06	1	90	34	0 – 11	2908	20°53'43.00"E 49°25'03.00"N
5	1800	A264518R0V06	1	210	21,65	0 - 12	2908	20°53'43.00"E 49°25'03.00"N
6	1800	A264518R0V06	1	340	31	0-12	2908	20°53'43.00"E 49°25'03.00"N

Charakterystyka promieniowania				kierunkowa				
Rzeczywisty czas pracy [h/dobę]				24				
Rodzaj wytwarzanego pola				stacjonarne				
Linia radiowa				Antena				
L p.	Typ nadajnika	Częstotliwość pracy [GHz]	Moc EIRP [W]	Typ/producent	Średnica anteny [m]	Azymut [°]	Wysokość zainstal. [m]	Współrzędne geograficzne
1	RLA(1)13-12	13	1995	VHLP4-13	1,2	58	16,7	20°53'43.00"E 49°25'03.00"N
2	RLA(1)30-06	38	1047	A38D06HAC	0,6	92	17,0	20°53'43.00"E 49°25'03.00"N
3	RLA(1)DB2080	23	708	A23S80S06HAC	0,6	108	18,0	20°53'43.00"E 49°25'03.00"N
4	RLA(1)DB2080	80	2512	A23S80S06HAC	0,6	108	18,0	20°53'43.00"E 49°25'03.00"N
5	RLA(1)30-03	38	407	VHLP1-38	0,3	113	23,0	19°07'48.30"E, 49°37'26.90"N

Zgodnie z Rozporządzeniem Rady Ministrów z dnia 10 września 2019 r. w sprawie przedsięwzięć mogących znacząco oddziaływać na środowisko (Dz. U. 2019 poz. 1839 ze zm.) przedmiotowa instalacja nie jest nadal kwalifikowana jako przedsięwzięcie mogące zawsze bądź mogące potencjalnie znacząco oddziaływać na środowisko.

Załączniki:

- 1) Sprawozdanie z badań pól elektromagnetycznych dla celów ochrony środowiska
- 2) Odpis dokumentu pełnomocnictwa wraz z potwierdzeniem uiszczenia opłaty skarbowej od jego złożenia
- 3) Informacja odpowiadająca odpisowi pełnemu z REJESTRU PRZEDSIĘBIORCÓW

1 1
~~~~~

**Prowadzący instalację:**

Towerlink Poland sp. z o.o.  
Ul. Konstruktorska 4,  
02-673 Warszawa

boratorium@anteo.pl

**Starostwo Powiatowe w Nowym Sączu  
Wydział Ochrony Środowiska  
ul. Jagiellońska 8, 33-300 Nowy Sącz**

Sprostowanie do zgłoszenia aktualizacji emisji dla instalacji radiokomunikacyjnej **BT\_24492 JAWORZYNA** zlokalizowanej w miejscowości Muszyna, Góra Jaworzyna Krynicka, z dnia 2021-08-24.

W przesłanym zgłoszeniu w tabeli z danymi radiolinii dla anteny radioliniowej nr 5 wpisano błędne współrzędne geograficzne (19°07'48.30"E, 49°37'26.90"N), było:

| Charakterystyka promieniowania  |               |                           |              | kierunkowa    |                     |            |                        |                                 |
|---------------------------------|---------------|---------------------------|--------------|---------------|---------------------|------------|------------------------|---------------------------------|
| Rzeczywisty czas pracy [h/dobę] |               |                           |              | 24            |                     |            |                        |                                 |
| Rodzaj wytwarzanego pola        |               |                           |              | stacjonarne   |                     |            |                        |                                 |
| Linia radiowa                   |               |                           |              | Antena        |                     |            |                        |                                 |
| L p.                            | Typ nadajnika | Częstotliwość pracy [GHz] | Moc EIRP [W] | Typ/producent | Średnica anteny [m] | Azymut [°] | Wysokość zainstal. [m] | Współrzędne geograficzne        |
| 1                               | RLA(1)13-12   | 13                        | 1995         | VHLP4-13      | 1,2                 | 58         | 16,7                   | 20°53'43.00"E<br>49°25'03.00"N  |
| 2                               | RLA(1)30-06   | 38                        | 1047         | A38D06HAC     | 0,6                 | 92         | 17,0                   | 20°53'43.00"E<br>49°25'03.00"N  |
| 3                               | RLA(1)DB2080  | 23                        | 708          | A23S80S06HAC  | 0,6                 | 108        | 18,0                   | 20°53'43.00"E<br>49°25'03.00"N  |
| 4                               | RLA(1)DB2080  | 80                        | 2512         | A23S80S06HAC  | 0,6                 | 108        | 18,0                   | 20°53'43.00"E<br>49°25'03.00"N  |
| 5                               | RLA(1)30-03   | 38                        | 407          | VHLP1-38      | 0,3                 | 113        | 23,0                   | 19°07'48.30"E,<br>49°37'26.90"N |

Powinno być (20°53'43.00"E 49°25'03.00"N):

| Charakterystyka promieniowania  |               |                           |              | kierunkowa    |                     |            |                        |                                |
|---------------------------------|---------------|---------------------------|--------------|---------------|---------------------|------------|------------------------|--------------------------------|
| Rzeczywisty czas pracy [h/dobę] |               |                           |              | 24            |                     |            |                        |                                |
| Rodzaj wytwarzanego pola        |               |                           |              | stacjonarne   |                     |            |                        |                                |
| Linia radiowa                   |               |                           |              | Antena        |                     |            |                        |                                |
| L p.                            | Typ nadajnika | Częstotliwość pracy [GHz] | Moc EIRP [W] | Typ/producent | Średnica anteny [m] | Azymut [°] | Wysokość zainstal. [m] | Współrzędne geograficzne       |
| 1                               | RLA(1)13-12   | 13                        | 1995         | VHLP4-13      | 1,2                 | 58         | 16,7                   | 20°53'43.00"E<br>49°25'03.00"N |
| 2                               | RLA(1)30-06   | 38                        | 1047         | A38D06HAC     | 0,6                 | 92         | 17,0                   | 20°53'43.00"E<br>49°25'03.00"N |
| 3                               | RLA(1)DB2080  | 23                        | 708          | A23S80S06HAC  | 0,6                 | 108        | 18,0                   | 20°53'43.00"E<br>49°25'03.00"N |
| 4                               | RLA(1)DB2080  | 80                        | 2512         | A23S80S06HAC  | 0,6                 | 108        | 18,0                   | 20°53'43.00"E<br>49°25'03.00"N |
| 5                               | RLA(1)30-03   | 38                        | 407          | VHLP1-38      | 0,3                 | 113        | 23,0                   | 20°53'43.00"E<br>49°25'03.00"N |

2 powazaniem  
1 n  
-----



AB 1294



## LABORATORIUM ANTEO

**POLAND** Sp. z o.o. sp. k.

Laboratorium Badawcze Anteo

ul. Chryzantem 23/1

41-700 Ruda Śląska

e-mail: laboratorium@anteo.pl

# SPRAWOZDANIE Z BADAŃ PÓL ELEKTROMAGNETYCZNYCH W OTOCZENIU STACJI BAZOWEJ TELEFONII KOMÓRKOWEJ SIECI TOWERLINK POLAND SP. Z O.O. DLA POTRZEB OCHRONY LUDZI I ŚRODOWISKA

|                              |                                                                     |                          |                            |
|------------------------------|---------------------------------------------------------------------|--------------------------|----------------------------|
| Nr stacji                    | Miejsce wykonania pomiarów:                                         | Data wykonania pomiarów: | Data wydania sprawozdania: |
| <b>BT24492 JAWORZYNA</b>     | <b>Góra Jaworzyna Krynicka,<br/>33-370 Muszyna</b>                  | <b>2021-07-28</b>        | <b>2021-08-24</b>          |
| Zleceniodawca:               | <b>Anteo sp. z o.o.<br/>Ul. Chryzantem 23/1, 41-700 Ruda Śląska</b> |                          |                            |
| Nr ewidencyjny sprawozdania: | <b>SP_2021-07-007-5a-S_BT24492 JAWORZYNA</b>                        |                          |                            |
| Sprawozdanie wykonał:        | Sprawdził:                                                          | Autoryzował/Data:        |                            |
|                              |                                                                     |                          |                            |

## 1. Wstęp

Badania wykonano na podstawie umowy z dnia 2021-07-01 pomiędzy firmą **Laboratorium Anteo Poland sp. z o.o. sp. k., ul. Chryzantem 23/1, 41-700 Ruda Śląska**, a firmą **Anteo Sp. z o.o., ul. Chryzantem 23/1, 41-700 Ruda Śląska** przekazanej do realizacji Laboratorium Badawczemu Anteo.

Sprawozdanie przedstawia wyniki sprawdzenia dotrzymania dopuszczalnych poziomów pól elektromagnetycznych w środowisku w otoczeniu instalacji - stacji bazowej **BT24492** będącej obiektem radiokomunikacyjnym Towerlink Poland sp. z o.o., w miejscach dostępnych dla ludności w otoczeniu ww. instalacji.

Wyniki pomiarów odnoszą się wyłącznie do istniejącej konfiguracji instalacji antenowej. Każda zmiana konfiguracji o ile zmiana ta może mieć wpływ na zmiany poziomów pól elektromagnetycznych wiąże się z koniecznością wykonania nowego badania

Laboratorium badawcze akredytowane przez PCA, Nr AB1294. Data ważności certyfikatu akredytacji: od 2019-10-28 do 2023-10-27. Zakres wykonywanych przez laboratorium badań podany jest pod adresem [www.pca.gov.pl](http://www.pca.gov.pl).

Akredytacja Laboratorium w odniesieniu do normy ISO/IEC 17025:2018-02 oznacza spełnienie wymagań dotyczących kompetencji technicznych i systemu zarządzania, koniecznych dla zapewnienia wiarygodnych technicznie wyników badań.

## 2. Metoda badań

- Załącznik do rozporządzenia Ministra Klimatu z dnia 17 lutego 2020 r. w sprawie sposobów sprawdzania dotrzymania dopuszczalnych poziomów pól elektromagnetycznych w środowisku (Dz. U. 2020, poz. 258).

## 3. Akty prawne

- Rozporządzenie Ministra Klimatu z dnia 17 lutego 2020 r. w sprawie sposobów sprawdzania dotrzymania dopuszczalnych poziomów pól elektromagnetycznych w środowisku (Dz. U. 2020, poz. 258).
- Rozporządzenie Ministra Zdrowia z dnia 17 grudnia 2019 r. w sprawie dopuszczalnych poziomów pól elektromagnetycznych w środowisku (Dz. U. 2019, poz. 2448).

## 4. Odstępstwa/ograniczenia i uwarunkowania metody badawczej

W związku z ogłoszonym stanem epidemii, zgodnie z Obwieszczeniem Marszałka Sejmu Rzeczypospolitej Polskiej z dnia 31 marca 2021 r. w sprawie ogłoszenia jednolitego tekstu o szczególnych instrumentach wsparcia w związku z rozprzestrzenianiem się wirusa SARS-CoV-2, art.31 pkt.2 (ustawy Dz. U. 2021, poz. 737), nie przeprowadza się pomiarów w lokalach mieszkalnych oraz lokalach użytkowych zlokalizowanych na terytorium objętym stanem nadzwyczajnym, stanem zagrożenia epidemicznego lub stanem epidemii.

## 5. Lokalizacja obiektu badań

Badany obiekt znajduje się w miejscowości Góra Jaworzyna Krynicka, 33-370 Muszyna.  
Współrzędne geograficzne obiektu: 20°53'42.93"E, 49°25'02.94"N.

## 6. Opis badania

Badany obiekt jest obiektem radiokomunikacyjnym sieci komórkowej (radiowa stacja bazowa telefonii mobilnej w sieci o przeznaczeniu publicznym). Anteny zainstalowano na wieży kratowej. Na obiekcie zainstalowano urządzenia pracujące w pasmach częstotliwości 1800MHz, 900MHz oraz radiolinii 13GHz, 23GHz, 38GHz, 80GHz. Pomiarów pól elektromagnetycznych zostały wykonane w szczególności w tych

miejscach, w których na podstawie przeprowadzonych obliczeń, stwierdzono występowanie w danych zakresach częstotliwości pól elektromagnetycznych o poziomach zbliżonych do dopuszczalnych. Na kierunku zbliżonym do azymutu anten pomiary wykonano do odległości  $10 \times H_{ANT}$  (gdzie  $H_{ANT}$  - oznacza wysokość zawieszenia anteny względem powierzchni terenu wyrażoną w m).

Wszelkie dane dotyczące źródeł promieniowania (min. wysokość anten, częstotliwość pracy) oraz współrzędne geograficzne obiektu pochodzą od zleceniodawcy.

Badanie zostało przeprowadzone w godz. od 14:00 do 15:30 przez:

Marcin Wagner – Technik ds. pomiarów PEM

## 7. Warunki atmosferyczne

|                       |                |             |
|-----------------------|----------------|-------------|
| Temperatura powietrza | Przed: 24,6° C | Po: 25,0° C |
| Wilgotność powietrza  | Przed: 53,6%   | Po: 51,9%   |

Brak opadów atmosferycznych w czasie przeprowadzania badania.

Pomiary zostały wykonane przy temperaturze i wilgotności względnej nie wyższej niż dopuszczalna specyfikacja miernika.

## 8. Parametry techniczne obiektu badań

Parametry techniczne przekazane przez zleceniodawcę.

Tabela nr 1 – Parametry systemu nadawczo – odbiorczego pracującego w paśmie 1800MHz oraz 900MHz

Tabela nr 2 – Parametry linii radioliniowej

Parametry systemu nadawczo odbiorczego pracującego w paśmie –1800MHz oraz 900MHz – tabela 1

| Charakterystyka promieniowania  |                     |              |              |            | Kierunkowa                                |                                          |                                   |                                |
|---------------------------------|---------------------|--------------|--------------|------------|-------------------------------------------|------------------------------------------|-----------------------------------|--------------------------------|
| Rzeczywisty czas pracy [h/dobę] |                     |              |              |            | Całodobowa 24h                            |                                          |                                   |                                |
| Warunki pracy                   |                     |              |              |            | Znamionowe                                |                                          |                                   |                                |
| Rodzaj wytwarzanego pola        |                     |              |              |            | Stacjonarne                               |                                          |                                   |                                |
| Lp.                             | Częstotliwość [MHz] | Typ anteny   | Liczba anten | Azymut [°] | Wysokość środka elektr. anteny [m n.p.t.] | Dopuszczalny zakres pochylenia anten [°] | Maksymalna moc nadawania EIRP [W] | Współrzędne geograficzne       |
| 1                               | 900                 | 742264       | 1            | 100        | 21,5                                      | 0 – 11                                   | 2850                              | 20°53'42.93"E<br>49°25'02.94"N |
| 2                               | 1800                | ADU4517R3    | 1            | 210        | 21,7                                      | 0 - 10                                   | 1869                              | 20°53'42.93"E<br>49°25'02.94"N |
| 3                               | 1800                | ADU4517R3    | 1            | 340        | 31                                        | 0 - 10                                   | 1784                              | 20°53'42.93"E<br>49°25'02.94"N |
|                                 | 0 - 14              |              |              |            |                                           | 2148                                     |                                   |                                |
| 4                               | 1800                | A264518R0V06 | 1            | 90         | 34                                        | 0 – 11                                   | 2908                              | 20°53'42.93"E<br>49°25'02.94"N |
| 5                               | 1800                | A264518R0V06 | 1            | 210        | 21,65                                     | 0 - 12                                   | 2908                              | 20°53'42.93"E<br>49°25'02.94"N |
| 6                               | 1800                | A264518R0V06 | 1            | 340        | 31                                        | 0-12                                     | 2908                              | 20°53'42.93"E<br>49°25'02.94"N |



### Parametry systemu nadawczo – odbiorczego linii radioliniowej – Tabela nr 2

| Charakterystyka promieniowania  |               |                           |              | kierunkowa    |                     |            |                        |                                |
|---------------------------------|---------------|---------------------------|--------------|---------------|---------------------|------------|------------------------|--------------------------------|
| Rzeczywisty czas pracy [h/dobę] |               |                           |              | 24            |                     |            |                        |                                |
| Rodzaj wytwarzanego pola        |               |                           |              | stacjonarne   |                     |            |                        |                                |
| Linia radiowa                   |               |                           |              | Antena        |                     |            |                        |                                |
| L p.                            | Typ nadajnika | Częstotliwość pracy [GHz] | Moc EIRP [W] | Typ/producent | Średnica anteny [m] | Azymut [°] | Wysokość zainstal. [m] | Współrzędne geograficzne       |
| 1                               | RLA(1)13-12   | 13                        | 1995         | VHLP4-13      | 1,2                 | 58         | 16,7                   | 20°53'42.93"E<br>49°25'02.94"N |
| 2                               | RLA(1)30-06   | 38                        | 1047         | A38D06HAC     | 0,6                 | 92         | 17,0                   | 20°53'42.93"E<br>49°25'02.94"N |
| 3                               | RLA(1)DB2080  | 23                        | 708          | A23S80S06HAC  | 0,6                 | 108        | 18,0                   | 20°53'42.93"E<br>49°25'02.94"N |
| 4                               | RLA(1)DB2080  | 80                        | 2512         | A23S80S06HAC  | 0,6                 | 108        | 18,0                   | 20°53'42.93"E<br>49°25'02.94"N |
| 5                               | RLA(1)30-03   | 38                        | 407          | VHLP1-38      | 0,3                 | 113        | 23,0                   | 20°53'42.93"E<br>49°25'02.94"N |

### 9. Sposób identyfikacji pola elektromagnetycznego

Niezbędnych informacji na temat źródeł pól udzielił Specjalista ds. Rozliczeń Projektu Anteo Sp. z o.o., który nie brał udziału w badaniach. Identyfikację źródeł i parametrów technicznych wykonano na podstawie analizy przekazanej ze zleceniem dokumentacji oraz obserwacji w miejscu wykonywania badań.

Uwzględniono podaną przez zleceniodawcę poprawkę pomiarową o wartości 1,47. Z przekazanych przez zleceniodawcę informacji wynika, iż po uwzględnieniu poprawki w/w urządzenia podczas pomiaru pracowały w warunkach maksymalnego występującego lub planowanego obciążenia, tj. zgodnie z parametrami w pkt. 8. Z informacji zleceniodawcy wynika, że podczas badania anteny użytkownika o sterowanych wiązkach zostały ustawione w sposób opisany zgodnie z punktem 13 ppkt.2 Rozporządzenia Ministra Klimatu (Dz. U. 2020, poz. 258).

### 10. Opis terenu

Stacja bazowa telefonii komórkowej sieci Towerlink Poland sp. zo.o. BT24492 zlokalizowana jest na wieży kratowej w miejscowości Muszyna 33-370, Góra Jaworzyna Krynicka. Anteny sektorowe są zainstalowane na wysokości 21,5m, 21,65m, 21,7m oraz 31,0m n. p. t. Urządzenia nadawczo – odbiorcze znajdują się w szafach, które umieszczone są na gruncie. Bezpośrednim sąsiedztwem stacji są tereny zielone, las oraz tereny użyteczności publicznej.

W badanym środowisku zidentyfikowano urządzenia innych operatorów mogące mieć wpływ na wyniki mierzonego pola EM. Ich wpływ na poziom pól elektromagnetycznych w środowisku został uwzględniony w przekazanej poprawce pomiarowej.

### 11. Sprzęt pomiarowy

Tabela nr 3 – Sprzęt pomiarowy

| Lp. | Nazwa i typ urządzenia                              | Numer identyfikacyjny              |
|-----|-----------------------------------------------------|------------------------------------|
| 1.  | Zestaw pomiarowy NARDA NBM-520 wraz z sondą EF6091* | 2403/01B D-0648<br>2402/04B 01056  |
| 2.  | Zestaw pomiarowy NARDA NBM-520 wraz z sondą EF0392* | 2403/01B D-0648<br>2402/12B D-0315 |
| 3.  | Termohigrometr Voltcraft BL-20 TRH                  | 140719860                          |
| 4.  | Dalmierz laserowy GLM 250 VF                        | 209147077                          |

\*Zestaw pomiarowy przed wykonaniem pomiarów został sprawdzony za pomocą uniwersalnego testera sond UTEST-7

Tabela nr 4 – Szerokopasmowe mierniki pola elektromagnetycznego

| Lp. | Nazwa i typ urządzenia | Zakres pomiarowy               | Numer świadectwa wzorcowania | Data następnego wzorcowania |
|-----|------------------------|--------------------------------|------------------------------|-----------------------------|
| 1.  | Miernik Narda NBM-520  | Zależny od sondy               | LWiMP/W/020/21**             | 2023-01-29                  |
| 2.  | Sonda Narda EF6091     | 0,79 – 302V/m<br>80MHz – 90GHz | LWiMP/W/020/21**             | 2023-01-29                  |
| 3.  | Sonda Narda EF0392     | 0,48 – 990V/m<br>0,1MHz – 4GHz | LWiMP/W/020/21**             | 2023-01-29                  |

\*\*LWiMP – Laboratorium Wzorców i Metrologii Pola Elektromagnetycznego, Instytut Telekomunikacji, Teleinformatyki i Akustyki, Politechnika Wrocławska

Tabela nr 5 – Sprzęt uzupełniający

| Lp. | Nazwa i typ urządzenia             | Zakres pomiarowy          | Numer świadectwa wzorcowania | Data następnego sprawdzenia |
|-----|------------------------------------|---------------------------|------------------------------|-----------------------------|
| 1.  | Termohigrometr Voltcraft BL-20 TRH | -20 + +60°C<br>0 – 100%RH | 719-2096/19***               | Sprawdzenia:<br>2022-07-15  |
| 2.  | Dalmierz laserowy Bosch GLM 250 VF | 0,05 – 250m               | 215.1-M11-4180-116/13****    | 2021-12-23                  |
| 3.  | Urządzenie GPS H-Target Qmini      | -                         | -                            | 2021-09-10                  |

\*\*\*Laboratorium Pomiarowe INTRON

\*\*\*\*Zakład Długości Kąta GUM

## 12. Wyniki badań

Tabela nr 6 – Wartości natężenia pola elektrycznego i magnetycznego

| Nr pionu | Opis miejsca pomiaru                                             | Zmierzona wartość natężenie pola <sup>2</sup> E [V/m] | Natężenie pola <sup>3</sup> E [V/m] | Natężenie pola <sup>4</sup> H [A/m] | Wysokość Pomiaru <sup>5</sup> [m] | Współrzędne geograficzne pionu | Wartości WME <sup>6</sup> | Wartości WMH <sup>6</sup> |
|----------|------------------------------------------------------------------|-------------------------------------------------------|-------------------------------------|-------------------------------------|-----------------------------------|--------------------------------|---------------------------|---------------------------|
| 1        | GKP <sup>1</sup> 90°, przy ogrodzeniu obok karczmy/teren zieleni | 1,5                                                   | 2,9                                 | 0,008                               | 1,70                              | 49°25'02.9"N<br>20°53'43.9"E   | 0,10                      | 0,10                      |
| 2        | GKP 340°, przy ogrodzeniu stacji meteo, teren zieleni            | 3,7                                                   | 6,9                                 | 0,018                               | 0,80                              | 49°25'04.1"N<br>20°53'42.4"E   | 0,25                      | 0,25                      |
| 3        | GKP 210°, teren zieleni za karczmą                               | 2,8                                                   | 5,2                                 | 0,014                               | 1,00                              | 49°25'02.4"N<br>20°53'42.1"E   | 0,19                      | 0,19                      |
| 4        | Przy ogrodzeniu karczmy, teren zieleni                           | 2,5                                                   | 4,7                                 | 0,012                               | 1,60                              | 49°25'02.4"N<br>20°53'43.3"E   | 0,17                      | 0,17                      |
| 5        | Teren zieleni przy obejściu gospody                              | 1,7                                                   | 3,2                                 | 0,009                               | 1,78                              | 49°25'01.5"N<br>20°53'42.9"E   | 0,12                      | 0,12                      |
| 6        | GKP 210°, teren zieleni, ścieżka w lesie                         | 1,3                                                   | 2,5                                 | 0,007                               | 1,62                              | 49°25'00.8"N<br>20°53'41.5"E   | 0,09                      | 0,09                      |
| 7        | GKP 210°, teren leśny                                            | 0,7                                                   | 1,4                                 | 0,004                               | 0,3-2,00                          | 49°24'57.4"N<br>20°53'37.0"E   | 0,05                      | 0,05                      |
| 8        | Na szlaku przy budce obsługi wyciągu narciarskiego               | 3,3                                                   | 6,2                                 | 0,016                               | 2,00                              | 49°24'59.8"N<br>20°53'44.2"E   | 0,22                      | 0,22                      |
| 9        | Na szlaku pomiędzy budynkami gastronomii                         | 3,3                                                   | 6,2                                 | 0,016                               | 1,20                              | 49°25'01.6"N<br>20°53'44.7"E   | 0,22                      | 0,22                      |
| 10       | Teren przy budynku karczmy                                       | 3,9                                                   | 7,3                                 | 0,019                               | 1,20                              | 49°25'02.1"N<br>20°53'45.1"E   | 0,26                      | 0,26                      |
| 11       | Teren przy budynku karczmy                                       | 2,0                                                   | 3,8                                 | 0,010                               | 1,40                              | 49°25'02.3"N<br>20°53'45.3"E   | 0,13                      | 0,13                      |
| 12       | GKP 90°, na szlaku                                               | 1,0                                                   | 1,9                                 | 0,005                               | 1,98                              | 49°25'02.8"N<br>20°53'47.7"E   | 0,07                      | 0,07                      |
| 13       | GKP 100°, teren leśny                                            | 0,8                                                   | 1,6                                 | 0,004                               | 0,3-2,00                          | 49°25'01.4"N<br>20°53'52.9"E   | 0,06                      | 0,06                      |
| 14       | GKP 90°, teren leśny                                             | 0,8                                                   | 1,6                                 | 0,004                               | 0,3-2,00                          | 49°25'03.1"N<br>20°53'53.0"E   | 0,06                      | 0,06                      |
| 15       | Przy wejściu do gospody                                          | 1,6                                                   | 3,0                                 | 0,008                               | 1,10                              | 49°25'01.3"N<br>20°53'43.9"E   | 0,11                      | 0,11                      |

|    |                                                      |     |     |       |          |                              |      |      |
|----|------------------------------------------------------|-----|-----|-------|----------|------------------------------|------|------|
| 16 | Przed wejściem do karczmy                            | 4,6 | 8,6 | 0,023 | 0,80     | 49°25'02.3"N<br>20°53'43.7"E | 0,31 | 0,31 |
| 17 | GKP 90°, przed wejściem do karczmy                   | 5,1 | 9,5 | 0,025 | 0,75     | 49°25'03.2"N<br>20°53'44.6"E | 0,34 | 0,34 |
| 18 | Przy trasie widokowym obok stacji                    | 4,7 | 8,7 | 0,023 | 1,20     | 49°25'03.5"N<br>20°53'45.2"E | 0,31 | 0,31 |
| 19 | Na trasie widokowym obok stacji PKL                  | 1,9 | 3,6 | 0,010 | 1,00     | 49°25'04.0"N<br>20°53'45.9"E | 0,13 | 0,13 |
| 20 | Przed wejściem głównym do stacji PKL                 | 2,2 | 4,1 | 0,011 | 1,20     | 49°25'04.4"N<br>20°53'44.3"E | 0,15 | 0,15 |
| 21 | Teren przy punkcie widokowym na skrzyżowaniu szlaków | 4,4 | 8,2 | 0,022 | 1,30     | 49°25'05.2"N<br>20°53'43.6"E | 0,29 | 0,29 |
| 22 | GKP 340°, przy szlaku górskim na azymucie            | 2,8 | 5,2 | 0,014 | 1,60     | 49°25'07.4"N<br>20°53'40.1"E | 0,19 | 0,19 |
| 23 | Przy szlaku na polanie                               | 1,3 | 2,5 | 0,007 | 1,72     | 49°25'08.4"N<br>20°53'37.0"E | 0,09 | 0,09 |
| 24 | GKP 340°, teren leśny                                | 0,8 | 1,6 | 0,004 | 0,3-2,00 | 49°25'11.2"N<br>20°53'37.1"E | 0,06 | 0,06 |

Przy wskazaniach sondy poniżej czułości (<0,8 V/m), dla punktu pomiarowego, przyjęto wartość 1,6V/m i 0,004AV/m oraz WME i WMH 0,07 z uwzględnieniem poprawki pomiarowej i niepewności

1 - GKP – Główny Kierunek Pomiarowy

2 – wynik pomiaru, z uwzględnieniem współczynników Cf (charakterystyka częstotliwościowa) i Cd (charakterystyka dynamiczna).

3 - wynik pomiaru natężenia skutecznego pola elektromagnetycznego z uwzględnieniem poprawki pomiarowej powiększony o niepewności pomiaru. Wartość chwilowa, zgodnie z pkt. 11 załącznika do rozporządzenia Ministra Klimatu z dnia 17lutego 2020r. (poz. 258)

4 - wartość wyznaczona na podstawie pomiaru wartości skutecznej natężenia pola elektrycznego, z zależności:  $H = E/377$ , z uwzględnieniem poprawki pomiarowej i niepewności pomiaru.

5- wysokość liczona jest od poziomu podłoża, gruntu

6 - wartości wskaźnikowe zgodnie z pkt.25 ppkt.1 rozporządzenia Ministra Klimatu Dz. U. 2020 poz.258:

$$WM_E = \frac{E}{\min(ME_{gr})}$$

$$WM_H = \frac{H}{\min(MH_{gr})}$$

gdzie:

WME (WMH) – oznacza wartość wskaźnikową poziomu emisji pól elektromagnetycznych dla miejsc dostępnych dla ludności dla składowej elektrycznej (magnetycznej) pola,

E (H) – oznacza zmierzoną wartość skuteczną natężenia pola elektrycznego E, wyrażoną w V/m, (natężenia pola magnetycznego H, wyrażonego w A/m), uśrednioną w sposób określony w przepisach wydanych na podstawie art. 122 ust. 1 ustawy z dnia 27 kwietnia 2001 r. – Prawo ochrony środowiska lub zgodnie z pkt. 11 załącznika do rozporządzenia Ministra Klimatu z dnia 17lutego 2020r. (poz. 258)

min(ME<sub>gr</sub>), (min MH<sub>gr</sub>) – oznacza najniższą dopuszczalną wartość składowej elektrycznej (magnetycznej) pola dla objętego pomiarami zakresu częstotliwości dla miejsc dostępnych dla ludności określoną w przepisach wydanych na podstawie art. 122 ust. 1 ustawy z dnia 27 kwietnia 2001 r. – Prawo ochrony środowiska wyrażoną w V/m rozporządzeniem Min. Zdrowia z 17 grudnia 2019 roku Dz.U2019 poz.2448.

Oszacowana niepewność rozszerzona przeprowadzonych pomiarów natężenia pola elektromagnetycznego nie przekracza 27,6 % (niepewność rozszerzona przy prawdopodobieństwie rozszerzenia ok.95% i współczynnikiem k=2).

Badanie wykonywano metodą dwóch sond szerokopasmowych opisaną w dokumencie Z7.4.5 Ocena możliwości realizacji metody badawczej wydanie z 2020-03-05 W każdym z pionów pomiarowych sprawdzono i wykluczono udział promieniowania radiolinii w badanym widmie, korzystając z w/w metody.

### 13. Podsumowanie

Dopuszczalny poziom promieniowania, dla poszczególnych zakresów częstotliwości, charakteryzują parametry fizyczne określone w załączniku do Rozporządzenia Ministra Zdrowia z dnia 17 grudnia 2019 r. w sprawie dopuszczalnych poziomów pól elektromagnetycznych w środowisku (Dz. U. 2019, poz. 2448) – tabela nr 7.

Tabela nr 7 – Dopuszczalne poziomy pól elektromagnetycznych dla miejsc dostępnych dla ludności.

| Zakres częstotliwości pola elektromagnetycznego | Składowa elektryczna E (V/m) | Składowa magnetyczna H (A/m) | Gęstość mocy S (W/m <sup>2</sup> ) |
|-------------------------------------------------|------------------------------|------------------------------|------------------------------------|
| 0 Hz                                            | 10000                        | 2500                         | ND                                 |
| Od 0 Hz do 0,5 Hz                               | ND                           | 2500                         | ND                                 |
| Od 0,5 Hz do 50 Hz                              | 10000                        | 60                           | ND                                 |

|                        |                        |                         |         |
|------------------------|------------------------|-------------------------|---------|
| Od 0,05 Hz do 1 kHz    | ND                     | 3 / f                   | ND      |
| Od 1 kHz do 3 kHz      | 250 / f                | 5                       | ND      |
| Od 3 kHz do 150 kHz    | 87                     | 5                       | ND      |
| Od 0,15 MHz do 1 MHz   | 87                     | 0,73 / f                | ND      |
| Od 1 MHz do 10 MHz     | $87 / f^{0,5}$         | 0,73 / f                | ND      |
| Od 10 MHz do 400 MHz   | 28                     | 0,073                   | 2       |
| Od 400 MHz do 2000 MHz | $1,375 \times f^{0,5}$ | $0,0037 \times f^{0,5}$ | f / 200 |
| Od 2 GHz do 300 GHz    | 61                     | 0,16                    | 10      |

Podczas badania przyjęto, jako wartości dopuszczalną poziomą pola elektromagnetycznego w środowisku wartość  $2 \text{ W/m}^2$  (28 V/m), tj. wartość dopuszczalną dla dolnego zakresu pasma 400MHz - 2000MHz.

Pomiary wykonano dla średniego kąta pochylenia wiązki. Przeprowadzone badania w środowisku, w obszarze pomiarowym, w otoczeniu badanej stacji bazowej, w zmierzonych pionach pomiarowych, nie wykazały przekroczenia 60% wartości dopuszczalnych poziomów pól elektromagnetycznych. W związku z tym nie wymagane są dodatkowe pomiary dla największego i najmniejszego stosowanego lub planowanego kąta pochylenia wiązki, zgodnie z pkt 13. ppkt. 2 załącznika do rozporządzenia Ministra Klimatu z dnia 17 lutego 2020r. (poz.258).

#### Stwierdzenie zgodności:

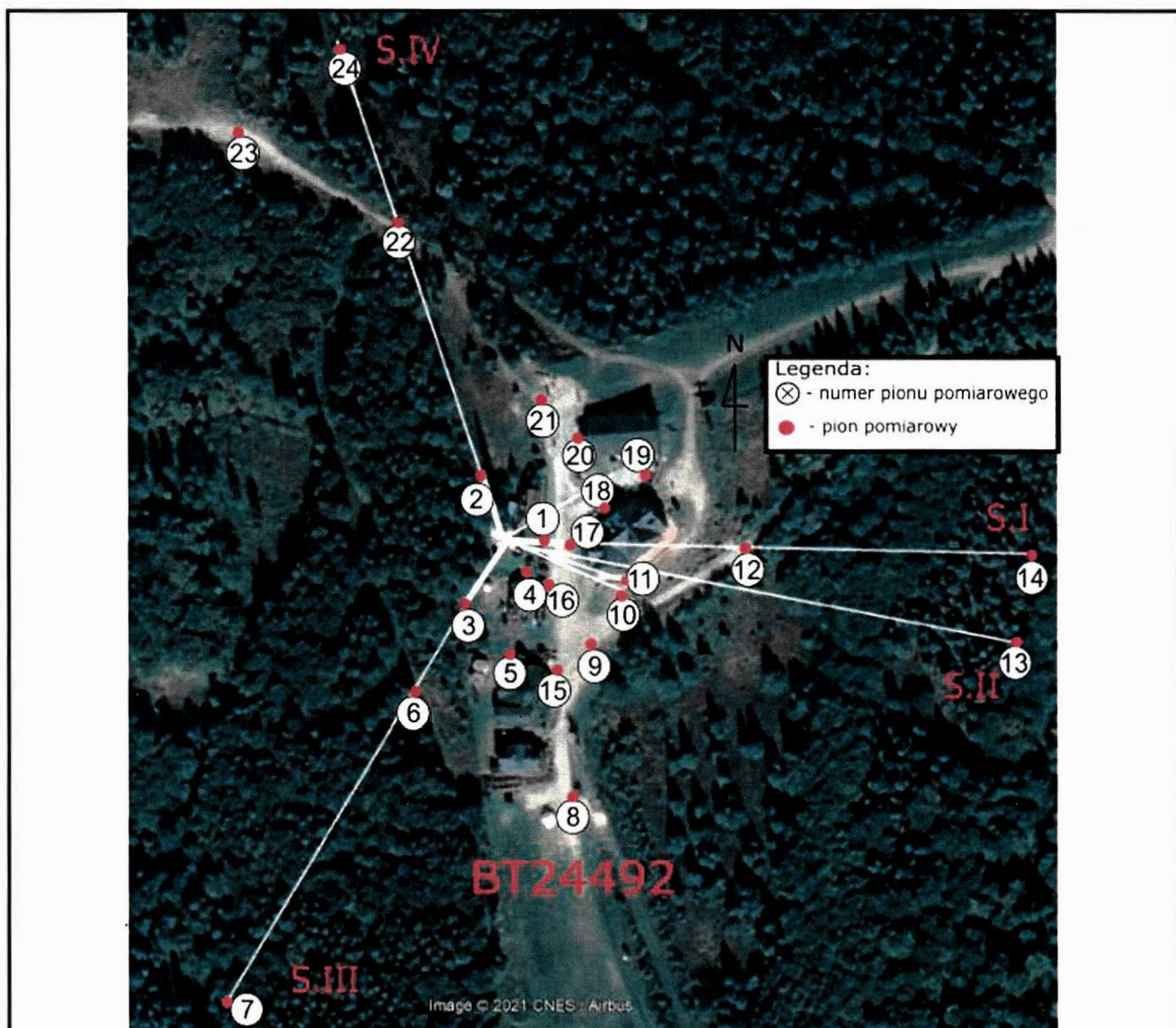
Na podstawie wytycznych wskazanych w Rozporządzeniu Ministra Klimatu z dnia 17 lutego 2020 r. w sprawie sposobów sprawdzania dotrzymywania dopuszczalnych poziomów pól elektromagnetycznych w środowisku (Dz. U. 2020, poz. 258) oraz na podstawie otrzymanych wyników pomiarów i informacji uzyskanych od klienta stwierdzono iż, w miejscach dostępnych dla ludności do których uzyskano dostęp, w żadnym punkcie/pionie pomiarowym, w środowisku wokół stacji bazowej **BT24492** nie występują przekroczenia dopuszczalnych poziomów pól elektromagnetycznych, określonych w tabeli nr 7, w badanym zakresie pomiarowym od 400MHz do 90 GHz.

Dopuszczalne poziomy pól elektromagnetycznych w środowisku określone w przepisach wydanych na podstawie art.122 ust. 1 ustawy z dnia 27 kwietnia 2001 r. – Prawo ochrony środowiska uznaje się za dotrzymane w badanym obszarze pomiarowym, w zmierzonych pionach pomiarowych, gdyż w wyniku zastosowania sprawdzenia dotrzymywania dopuszczalnych poziomów pól elektromagnetycznych w środowisku, o którym mowa w pkt. 25 ppkt.1 i pkt. 26 (załącznika do rozporządzenia Dz. U. 2020, poz. 258), żadna z wartości wskaźnikowych nie przekracza 1.

Rozpatrywanie poziomu ryzyka związanego ze stwierdzaniem zgodności z wymaganiami nie jest konieczne, ponieważ zasada podejmowania decyzji jest określona przez wskazane dokumenty normatywne.

#### 14. Załączniki

Załącznik nr 1 – Rysunek poglądowy terenu, rozmieszczenie pionów pomiarowych na terenie wokół stacji



Zdjęcie satelitarne: Image © 2021 Google

Koniec sprawozdania